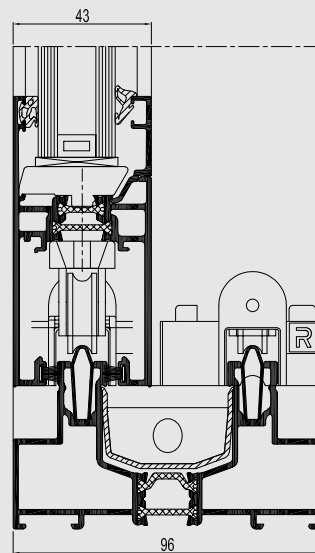
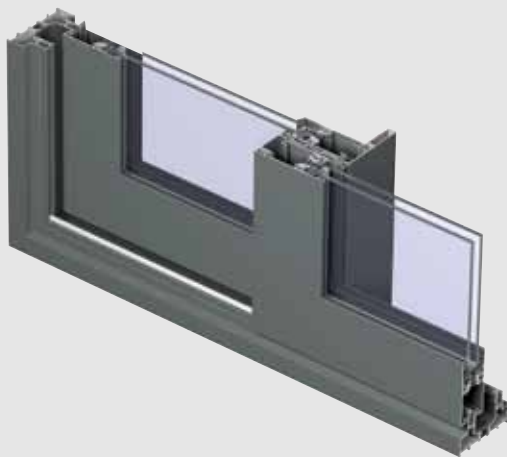


# CP 96

Design sottile per il massimo comfort

**R**  
REYNAERS  
aluminium



Il sistema scorrevole Concept Patio® 96 combina un design moderno dalle linee sottili con importanti fattori quali la sicurezza, la stabilità, le elevate prestazioni tecniche ed offre un'ampia possibilità di configurazione, grazie alla variante alzante-scorrevole CP 96-LS.

Anche la variante antieffrazione CP 96-AP è disponibile sia in versione scorrevole, sia alzante-scorrevole, per garantire il massimo della sicurezza unita al comfort.










## CARATTERISTICHE TECNICHE

Varianti		CP 96 MONOBINARIO	CP 96 2 BINARI	CP 96 3 BINARI	CP 96-LS 2 BINARI
Larghezza/altezza visibile	Telaio	52 mm	52 mm	52 mm	28 mm
	Anta	90 mm	90 mm	90 mm	90 mm
	Traverso	89 - 102 mm	89 - 102 mm	89 - 102 mm	89 - 102 mm
	Sezione d'incontro	104 mm	104 mm	104 mm	104 mm
Profondità costruttiva	Telaio	96 mm	96 mm	149 mm	96 mm
	Anta	43 mm	43 mm	43 mm	43 mm
Aletta di sovrapposizione		25 mm	25 mm	25 mm	25 mm
Spessore vetro		11 - 30 mm	11 - 30 mm	11 - 30 mm	11 - 30 mm
Metodo di vetratura		vetro a secco con EPDM o silicone naturale			
Isolamento termico		barrette in poliammide rinforzate con fibra di vetro da 14 mm e 18.6 mm			barrette in poliammide rinforzate con fibra di vetro da 14 e 23 mm

## CARATTERISTICHE TECNICHE

Varianti		CP 96-AP MONOBINARIO	CP 96-AP 2 BINARI	CP 96-AP 3 BINARI	CP 96-LS/AP 2 BINARI
Larghezza/altezza visibile	Telaio	52 mm	52 mm	52 mm	38 mm
	Anta	100 mm	100 mm	100 mm	100 mm
	Traverso	89 - 102 mm	89 - 102 mm	89 - 102 mm	89 - 102 mm
	Sezione d'incontro	104 mm	104 mm	104 mm	104 mm
Profondità costruttiva	Telaio	96 mm	96 mm	149 mm	96 mm
	Anta	43 mm	43 mm	43 mm	43 mm
Aletta di sovrapposizione		25 mm	25 mm	25 mm	25 mm
Spessore vetro		11 - 30 mm	11 - 30 mm	11 - 30 mm	11 - 30 mm
Metodo di vetratura		vetro a secco con EPDM o silicone naturale			
Isolamento termico		barrette in poliammide rinforzate con fibra di vetro da 14 mm e 18.6 mm			barrette in poliammide rinforzate con fibra di vetro da 14 e 23 mm

## PRESTAZIONI

ENERGIA												
	Isolamento termico <sup>(1)</sup> EN ISO 10077-2	Valori Uf compresi fra 3.5 W/m <sup>2</sup> K e 6.3 W/m <sup>2</sup> K, a seconda della combinazione anta/telaio.										
COMFORT												
	Resistenza all'aria, pressione massima provata <sup>(2)</sup> EN 1026; EN 12207	1 (150 Pa)		2 (300 Pa)		3 (600 Pa)		4 (600 Pa)				
	Resistenza all'acqua <sup>(3)</sup> EN 1027; EN 12208	1A (0 Pa)	2A (50 Pa)	3A (100 Pa)	4A (150 Pa)	5A (200 Pa)	6A (250 Pa)	7A (300 Pa)	8A (450 Pa)	9A (600 Pa)	E (>600 Pa)	
	Resistenza al carico vento, pressione massima provata <sup>(4)</sup> EN 12211; EN 12210	1 (400 Pa)		2 (800 Pa)		3 (1200 Pa)		4 (1600 Pa)		5 (2000 Pa)		Exxx (>2000 Pa)
	Resistenza al carico vento, con freccia di flessione <sup>(4)</sup> EN 12211; EN 12210	A (≤ 1/150)				B (≤ 1/200)				C (≤ 1/300)		
	Prestazioni acustiche EN ISO 140-3; EN ISO 717-1	Rw (C;Ctr) = 29 (-1;-2) dB / 33 (-1;-2) dB, a seconda del tipo di vetro										
	Resistenza all'impatto EN 13049	I5/E5										
SICUREZZA												
	Antieffrazione <sup>(5)</sup> NEN 5096	WK 1			WK 2			WK 3				

La tabella mostra le possibili classi e i valori di resistenza. I valori evidenziati in rosso sono quelli relativi a questo sistema.

(1) Il valore di Uf misura il flusso di calore. Più basso è tale valore e migliore è l'isolamento termico del profilo.

(2) Il test per la resistenza all'aria misura il volume di aria che passa attraverso una finestra ad una certa pressione.

(3) Il test per la resistenza all'acqua si esegue applicando un getto d'acqua uniforme, incrementando la pressione fino a quando l'acqua inizia a filtrare dalla finestra.

(4) La resistenza al carico del vento è una misura della resistenza strutturale dei profili ed è testata applicando diversi livelli di pressione tali da simulare la forza del vento. Esistono fino a 5 livelli di resistenza al vento (1 a 5) e 3 classi di flessione (A, B, C). Più alto è il numero e migliori sono le prestazioni.

(5) Il test anti-effrazione viene effettuato con carichi statici e dinamici e da simulazioni di effrazione mediante l'utilizzo di specifici attrezzi.